

# Sur la dimension fractale d'attracteurs exponentiels dans des réseaux de réaction-diffusion

---

Guillaume Cantin - *Laboratoire de Mathématiques Appliquées du Havre*  
Journée de la Fédération Normandie-Mathématiques, 6 novembre 2020



# Introduction

---

# Modèle d'espèces en compétition



**Figure 1** – Espèces en compétition.

On considère un modèle d'espèces en compétition :

$$\begin{cases} \frac{\partial u}{\partial t} = d_1 \Delta u + \alpha_1 u - \beta_1 u^2 - \gamma_1 uv, \\ \frac{\partial v}{\partial t} = d_2 \Delta v + \alpha_2 v - \beta_2 v^2 - \gamma_2 uv, \end{cases}$$

dans un domaine  $\Omega \subset \mathbb{R}^2$  borné à bord régulier.

# Modèle d'espèces en compétition



**Figure 1** – Espèces en compétition.

On considère un modèle d'espèces en compétition :

$$\begin{cases} \frac{\partial u}{\partial t} = d_1 \Delta u + \alpha_1 u - \beta_1 u^2 - \gamma_1 uv, \\ \frac{\partial v}{\partial t} = d_2 \Delta v + \alpha_2 v - \beta_2 v^2 - \gamma_2 uv, \end{cases}$$

dans un domaine  $\Omega \subset \mathbb{R}^2$  borné à bord régulier.

Dynamiques possibles :

- domination d'une des espèces,
- coexistence des espèces,
- cycles, hétérogénéité...

# Fragmentation de l'habitat

On suppose que l'habitat des espèces  $u$  et  $v$  est *fragmenté* :



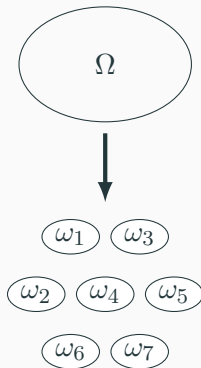
**Figure 2** – Conséquences de la déforestation.

# Fragmentation de l'habitat

On suppose que l'habitat des espèces  $u$  et  $v$  est *fragmenté* :



**Figure 2** – Conséquences de la déforestation.

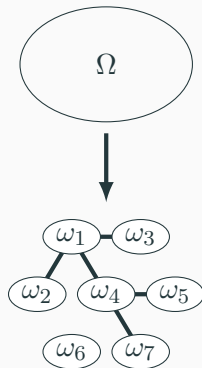


# Fragmentation de l'habitat

On suppose que l'habitat des espèces  $u$  et  $v$  est *fragmenté* :



**Figure 2** – Conséquences de la déforestation.



On modélise la dynamique de l'habitat fragmenté en construisant un **réseau de systèmes de réaction-diffusion**.

## Réseau de systèmes de réaction-diffusion

On considère un système de réaction-diffusion de la forme

$$\left\{ \begin{array}{ll} \frac{\partial u}{\partial t} = D\Delta u + \varphi(u) & \text{dans } \omega \times (0, \infty), \\ \frac{\partial u}{\partial \nu} = 0 & \text{sur } \partial\omega \times (0, \infty), \\ u(x, 0) = u_0(x) & \text{dans } \omega, \end{array} \right.$$

où  $u = (u_1, \dots, u_m)^T$  est définie dans  $\omega \times (0, \infty)$  à valeurs dans  $\mathbb{R}^m$ ;  $D$  est une matrice diagonale de taille  $m$  à coefficients strictement positifs;  $\varphi$  est un opérateur non-linéaire;  $u_0$  est une condition initiale donnée.

On considère de plus un graphe  $\mathcal{G} = (\mathcal{N}, \mathcal{E})$  composé de  $n$  sommets.



## Réseau de systèmes de réaction-diffusion

On construit un réseau complexe d'instances non-identiques du système précédent en posant :

$$(\mathcal{R}) \begin{cases} \frac{\partial u_j}{\partial t} = D_j \Delta u_j + \varphi_j(u_j) + g_j(u_1, \dots, u_n) & \text{dans } \omega \times (0, \infty), \\ \frac{\partial u_j}{\partial \nu} = 0 & \text{sur } \partial\omega \times (0, \infty), \\ u_j(x, 0) = u_{j,0}(x) & \text{dans } \omega, \end{cases}$$

pour  $1 \leq j \leq n$ , où  $u_j = (u_{1,j}, \dots, u_{m,j})^T$  est définie dans  $\omega \times (0, +\infty)$  à valeurs dans  $\mathbb{R}^m$ .

**Remarque :** on suppose ici que  $\omega_1 = \omega_2 = \dots = \omega_n$ .

## Opérateur de couplage

L'opérateur de couplage  $g$  est construit en correspondance avec le graphe  $\mathcal{G}$ . On définit une matrice de connectivité

$L = (L_{i,j})_{1 \leq i,j \leq n}$  en posant

$$L_{j,k} = +1 \text{ si } (k, j) \in \mathcal{E} \text{ avec } k \neq j, \quad L_{k,k} = - \sum_{\substack{j=1 \\ j \neq k}}^n L_{j,k},$$

et une matrice des forces de couplage

$$H = \text{diag}(\sigma_1, \dots, \sigma_m).$$

On pose alors

$$g_j(u) = \sum_{k=1}^n L_{j,k} H u_k, \quad 1 \leq j \leq n.$$

## Les questions que l'on se pose

- Quelle est la dynamique du réseau ? Existe-t-il de « nouvelles » dynamiques ?
- Existe-t-il des conditions dans lesquelles tous les nœuds du réseau ont la même dynamique ?
- Peut-on décrire ces dynamiques en étudiant les ensembles attracteurs du système ?
- Peut-on trouver des conditions pour garantir la survie de toutes les espèces ?

Autres applications :

- réseaux de neurones,
- réseaux épidémiologiques complexes,
- modèles de méta-populations,
- oscillateurs couplés, réactions chimiques couplées...

# Plan de l'exposé

---

# Plan de l'exposé

- ▶ Attracteurs exponentiels de dimension fractale finie

## Plan de l'exposé

- ▶ Attracteurs exponentiels de dimension fractale finie
- ▶ Estimation de la dimension pour un réseau de réaction-diffusion

# Plan de l'exposé

- ▶ Attracteurs exponentiels de dimension fractale finie
- ▶ Estimation de la dimension pour un réseau de réaction-diffusion
- ▶ Influence de la topologie du réseau

# Plan de l'exposé

- ▶ Attracteurs exponentiels de dimension fractale finie
- ▶ Estimation de la dimension pour un réseau de réaction-diffusion
- ▶ Influence de la topologie du réseau
- ▶ Synchronisation



# Plan de l'exposé

- ▶ Attracteurs exponentiels de dimension fractale finie
- ▶ Estimation de la dimension pour un réseau de réaction-diffusion
- ▶ Influence de la topologie du réseau
- ▶ Synchronisation
- ▶ Simulations numériques

# **Attracteurs exponentiels de dimension fractale finie**

---

## Attracteurs exponentiels

Soit  $X$  un espace de Banach et  $(S(t), \Phi, X)$  un système dynamique continu dont l'espace de phase  $\Phi$  est compact. Alors  $(S(t), \Phi, X)$  admet un unique attracteur global

$$\mathfrak{A} = \bigcap_{t \geq 0} S(t)\Phi.$$

## Attracteurs exponentiels

Soit  $X$  un espace de Banach et  $(S(t), \Phi, X)$  un système dynamique continu dont l'espace de phase  $\Phi$  est compact. Alors  $(S(t), \Phi, X)$  admet un unique attracteur global

$$\mathfrak{A} = \bigcap_{t \geq 0} S(t)\Phi.$$

Un sous-ensemble  $\mathfrak{M} \subset \Phi$  est appelé *attracteur exponentiel* de  $(S(t), \Phi, X)$  s'il est positivement invariant, compact, s'il contient  $\mathfrak{A}$ , et s'il attire les parties bornées de  $\Phi$  à une vitesse exponentielle pour la pseudo-distance de Hausdorff  $\rho_H$  définie par :

$$\rho_H(A, B) = \sup_{a \in A} \inf_{b \in B} \|a - b\|_X.$$

## Dimension fractale

Puisque  $\mathfrak{M}$  est compact, alors pour chaque  $\varepsilon > 0$ , on peut recouvrir  $\mathfrak{M}$  par un nombre fini de boules fermées de rayon  $\varepsilon$ . Soit  $N(\varepsilon)$  le nombre minimal de telles boules de rayon  $\varepsilon$  qui recouvrent  $\mathfrak{M}$ . Alors la dimension fractale de  $\mathfrak{M}$  est définie par

$$d_F(\mathfrak{M}) = \limsup_{\varepsilon \rightarrow 0} \frac{\log N(\varepsilon)}{\log \frac{1}{\varepsilon}}.$$

On peut estimer la dimension fractale de  $\mathfrak{M}$  en utilisant le théorème de Eden, Foias, Nicolaenko & Temam.

## ► Théorème (Eden, Foias, Nicolaenko, Temam)

On suppose qu'il existe une constante  $C > 0$  telle que

$$\|S(t)u - S(s)v\|_X \leq C(|t - s| + \|u - v\|_X),$$

pour tous  $t > 0, s > 0, u, v \in \Phi$ . On suppose de plus qu'il existe  $t^* > 0, \delta^* \in ]0, \frac{1}{8}[$  et une projection orthogonale  $P^*$  de rang  $N^*$  tels que

$$\|S(t^*)u - S(t^*)v\|_X \leq \delta^* \|u - v\|_X$$

$$\text{ou } \|(Id - P^*)(S(t^*)u - S(t^*)v)\|_X \leq \|P(S(t^*)u - S(t^*)v)\|_X$$

pour tous  $u, v \in \Phi$ . Alors  $(S(t), \Phi, X)$  admet un attracteur exponentiel  $\mathfrak{M}$  tel que

$$d_F(\mathfrak{M}) \leq 1 + N^* \max \left[ 1, \frac{\log \left( 1 + \frac{2L^*}{\delta^*} \right)}{\log \left( \frac{1}{4\delta^*} \right)} \right],$$

où  $L^*$  désigne la constante de Lipschitz de  $S(t^*)$  sur  $\Phi$ .

# Estimation de la dimension pour un réseau de réaction-diffusion

---

## Formulation abstraite

On résout le problème  $(\mathcal{R})$  dans  $X = (L^2(\omega))^{nm}$ . Pour chaque  $j \in \{1, \dots, n\}$ , on considère l'opérateur

$$A_j = \text{diag}[A_{1,j}, \dots, A_{m,j}],$$

où  $A_{i,j}$ ,  $1 \leq i \leq m$ , est la réalisation de  $-D_{i,j}\Delta u_{i,j} + u_{i,j}$  dans  $L^2(\Omega)$ , avec condition de Neumann sur  $\partial\Omega$ . On pose ensuite  $A = \text{diag}[A_i, 1 \leq i \leq n]$  et on réécrit le problème  $(\mathcal{R})$  :

$$(\mathcal{P}) \begin{cases} \frac{du}{dt} + Au = f(u) + g(u), & t > 0, \\ u(0) = u_0, \end{cases}$$

avec  $u_0 \in X$  et  $f(u) = (u_1 + \varphi_1(u_1), \dots, u_n + \varphi_n(u_n))^T$ .



## ► Théorème

Soit  $u(t, u_0)$  la solution du réseau de réaction-diffusion ( $\mathcal{P}$ ) issue de  $u_0 \in X$ . On suppose qu'il existe  $C_1 > 0$ ,  $C_2 > 0$ ,  $\delta > 0$  tels que

$$\|u(t, u_0)\|_X \leq C_1 e^{-\delta t} \|u_0\|_X + C_2, \quad 0 < t \leq T_{u_0}.$$

Alors le problème réseau ( $\mathcal{P}$ ) engendre un système dynamique  $(S(t), \Phi, X)$  défini dans  $X$ , dont l'espace de phase  $\Phi$  est compact et borné dans  $\mathcal{D}(A)$ . De plus,  $(S(t), \Phi, X)$  admet une famille d'attracteurs exponentiels.

## ► Théorème (Cantin & Aziz-Alaoui, 2020)

La dimension fractale de  $\mathfrak{M}$  vérifie

$$d_F(\mathfrak{M}) \leq 1 + C |\omega| (C^*)^{-d/2}.$$

avec

$$C^* = \frac{1 - \exp \left\{ -C_A^2 [C_g + C_f (1 + 2C_{A,\eta} C_\Phi)] \right\}}{C_A^2 [C_g + C_f (1 + 2C_{A,\eta} C_\Phi)]^2},$$

où  $C_f > 0$ ,  $C_g > 0$ ,  $C_\Phi > 0$ ,  $C_A > 0$ ,  $C_{A,\eta} > 0$ . Le coefficient  $C_{A,\eta}$  dépend seulement de  $A$  et  $\eta \in ]\frac{3}{4}, 1[$ . Si  $C_g \rightarrow +\infty$ , alors

$$d_F(\mathfrak{M}) \leq 1 + C |\omega| (C_g)^{d/2},$$

avec  $C > 0$ .

## Remarques

- ▶ La constante  $C_g$  est la constante de Lipschitz de l'opérateur de couplage  $g$ , et dépend de la nature des couplages dans le réseau et de la topologie du réseau.

## Remarques

- ▶ La constante  $C_g$  est la constante de Lipschitz de l'opérateur de couplage  $g$ , et dépend de la nature des couplages dans le réseau et de la topologie du réseau.
- ▶ On peut estimer  $C_g$  dans certains cas de topologies.

## Remarques

- ▶ La constante  $C_g$  est la constante de Lipschitz de l'opérateur de couplage  $g$ , et dépend de la nature des couplages dans le réseau et de la topologie du réseau.
- ▶ On peut estimer  $C_g$  dans certains cas de topologies.
- ▶ La constante  $C_\Phi$  dépend de l'espace de phase  $\Phi$ , qui peut être « élargi » par l'opérateur de couplage  $g$ .

## Remarques

- ▶ La constante  $C_g$  est la constante de Lipschitz de l'opérateur de couplage  $g$ , et dépend de la nature des couplages dans le réseau et de la topologie du réseau.
- ▶ On peut estimer  $C_g$  dans certains cas de topologies.
- ▶ La constante  $C_\Phi$  dépend de l'espace de phase  $\Phi$ , qui peut être « élargi » par l'opérateur de couplage  $g$ .
- ▶ On peut contrôler  $C_\Phi$  en recherchant une région invariante ou une borne  $L^\infty$  uniforme en  $g$ .

## Idées de démonstration

► **Étape 1.** On estime la constante de Lipschitz  $L^*$  et on choisit  $t^*$ . On considère une base de  $X$  composée de vecteurs propres de l'opérateur  $A$  :

$$Aw_k = \lambda_k w_k, \quad k \geq 1,$$

avec  $0 \leq \lambda_1 \leq \lambda_2 \leq \dots \leq \lambda_k \rightarrow +\infty$ . On a alors :

$$\text{Lip}_\Phi(S(t)) \leq \exp \{ [C_g + C_f (1 + 2C_{A,\eta}C_\Phi)] t \}.$$

On pose  $t^* = \frac{1}{C_g + C_f (1 + 2C_{A,\eta}C_\Phi)}$ , d'où

$$L^* = \text{Lip}_\Phi(S(t^*)) \leq e.$$

- **Étape 2.** Estimation de  $\delta^*$ . On pose

$$C^* = \frac{1 - \exp \left\{ -C_A^2 [C_g + C_f (1 + 2C_{A,\eta} C_\Phi)] \right\}}{C_A^2 [C_g + C_f (1 + 2C_{A,\eta} C_\Phi)]^2},$$

ce qui garantit que  $\delta^* \leq \exp \left\{ -\frac{C^*}{2} \lambda_{N^*+1} + 1 \right\}$ .



- **Étape 2.** Estimation de  $\delta^*$ . On pose

$$C^* = \frac{1 - \exp \left\{ -C_A^2 [C_g + C_f (1 + 2C_{A,\eta} C_\Phi)] \right\}}{C_A^2 [C_g + C_f (1 + 2C_{A,\eta} C_\Phi)]^2},$$

ce qui garantit que  $\delta^* \leq \exp \left\{ -\frac{C^*}{2} \lambda_{N^*+1} + 1 \right\}$ .

- **Étape 3.** On choisit  $N^*$  tel que  $\lambda_{N^*+1} > \frac{2(1+\log 8)}{C^*}$ . On sait que

$$\lambda_{N^*+1} = C \left( \frac{N^*}{|\omega|} \right)^{2/d},$$

donc on choisit  $C > 0$  tel que  $N^* = C |\omega| \left[ \frac{2(1 + \log 8)}{C^*} \right]^{d/2}$ .

# **Influence de la topologie du réseau**

---

# Influence de la topologie du réseau

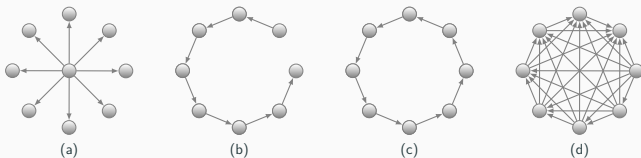
↪ Cas général.

## ► Proposition

Soit  $\sigma_{\max} = \max(\sigma_i, 1 \leq i \leq m)$ . Alors

$$C_g \leq n(n-1)\sigma_{\max},$$

↪ Cas particuliers.



**Figure 3** – (a) Étoile. (b) Chaîne. (c) Cycle. (d) Graphe complet.

## ► Proposition

*Si le graphe  $\mathcal{G}$  est une chaîne orientée, un cycle orienté ou une étoile orientée de l'extérieur vers l'intérieur, alors*

$$C_g \leq 2\sigma_{\max}.$$

*Si le graphe  $\mathcal{G}$  est une étoile orientée de l'intérieur vers l'extérieur, alors*

$$C_g \leq \sigma_{\max} \sqrt{n^2 - n - 2}.$$

# Synchronisation

---

## ► Théorème

*On suppose que le graphe  $\mathcal{G}$  est complet. Alors pour tout  $u_0 \in \Phi$ , la solution  $u(t, u_0)$  du problème réseau ( $\mathcal{P}$ ) synchronise, c'est-à-dire*

$$\|u_j(t) - u_k(t)\|_{L^2(\Omega)^m} \rightarrow 0 \text{ quand } t \rightarrow +\infty,$$

*pour tous  $j, k \in \{1, \dots, n\}$ , à condition que*

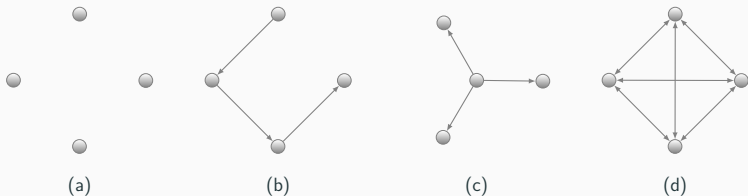
$$n \sigma_i > \tilde{C}_f,$$

*pour tout  $i \in \{1, \dots, m\}$ .*

# Simulations numériques

---

## Quatre scénarios



**Figure 4** – Quatre topologies pour un modèle d'espèces en compétition en réseau. (a) Absence de couplage. (b) Chaîne orientée. (c) Étoile. (d) Graphe complet.



# Dynamique du réseau en l'absence de couplage

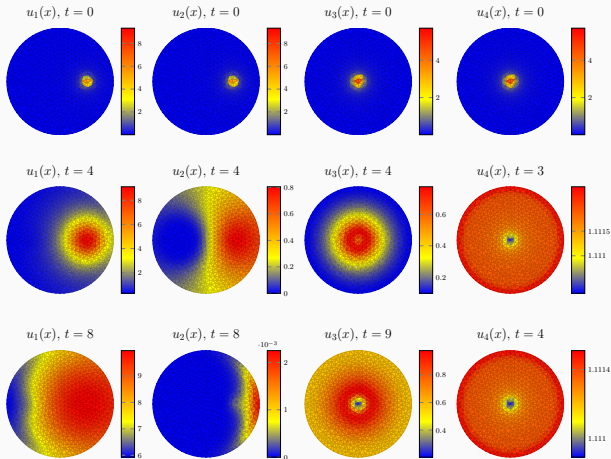
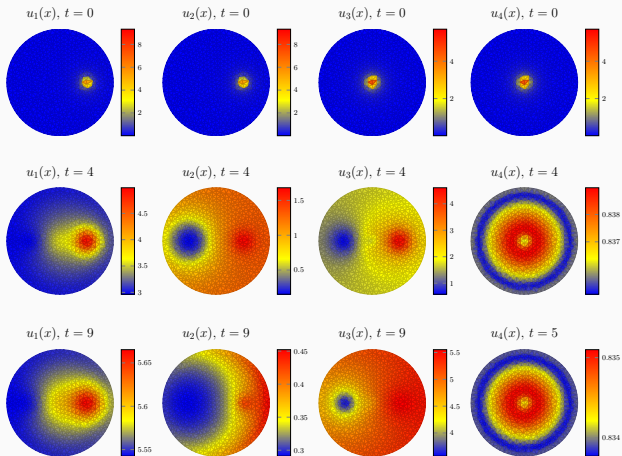


Figure 5 – Dynamique du réseau en l'absence de couplage.

# Dynamique du réseau dans le cas d'une chaîne orientée



**Figure 6** – Dynamique du réseau dans le cas d'une chaîne  $(4) \rightarrow (1) \rightarrow (2) \rightarrow (3)$ .

# Dynamique du réseau dans le cas d'une étoile

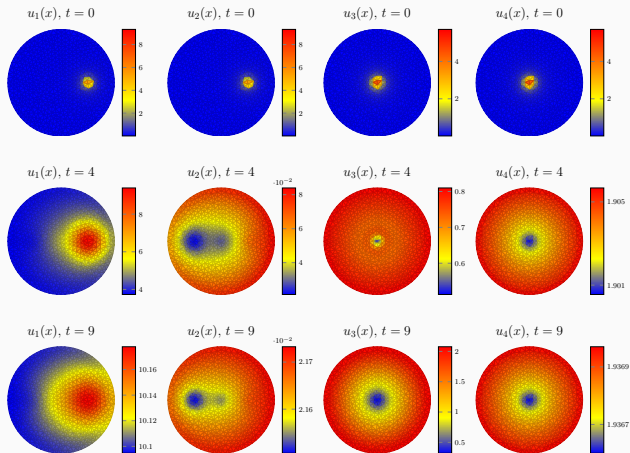
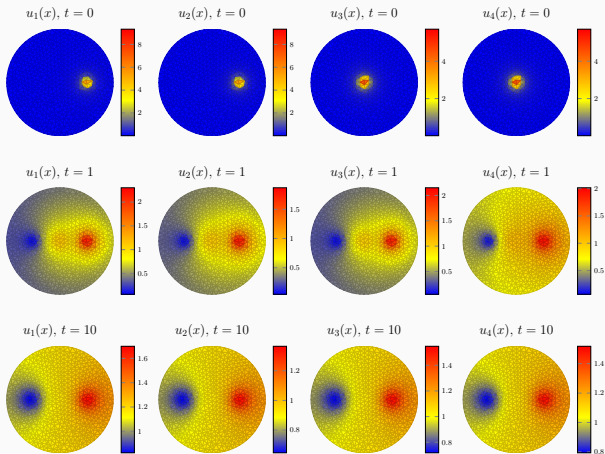


Figure 7 – Dynamique du réseau dans le cas d'une étoile centrée en (4).

# Synchronisation dans le cas d'un graphe complet



**Figure 8** – Synchronisation dans le cas d'un graphe complet.

## **Conclusion et perspectives**

---

## Conclusion et perspectives

*Dimension estimate of attractors for complex networks of reaction-diffusion systems applied to an ecological model.*

G. Cantin & M.A. Aziz-Alaoui, to appear in *Communications on Pure and Applied Analysis*, 2020.

## Conclusion et perspectives

*Dimension estimate of attractors for complex networks of reaction-diffusion systems applied to an ecological model.*

G. Cantin & M.A. Aziz-Alaoui, to appear in *Communications on Pure and Applied Analysis*, 2020.

Quelques travaux en cours :

- estimations de la dimension des attracteurs exponentiels par borne inférieure ;
- étude de réseaux avec des domaines  $\omega_i$  distincts ;
- étude de réseaux construits à partir d'autres problèmes paraboliques et avec d'autres couplages.

## Conclusion et perspectives

*Dimension estimate of attractors for complex networks of reaction-diffusion systems applied to an ecological model.*

G. Cantin & M.A. Aziz-Alaoui, to appear in *Communications on Pure and Applied Analysis*, 2020.

Quelques travaux en cours :

- estimations de la dimension des attracteurs exponentiels par borne inférieure ;
- étude de réseaux avec des domaines  $\omega_i$  distincts ;
- étude de réseaux construits à partir d'autres problèmes paraboliques et avec d'autres couplages.

Merci de votre attention !